PTC 铁电半导瓷的宏观电一热性质:

孙殿文 余春先

(冶金部广州有色金属研究院)

摘 要

 $BaTiO_3$ 系PTC半导瓷的热物理性质通常用 ρ —T(电阻率—温度) 曲线来描述。这种描述大都是"零功率"条件下完成的。对实用的材料而言,尤其作为发热体,使用电压很高。 ρ —T曲线已不能充分描述其本征性质。本文提出了用 ρ —T—E三维空间定量描述(E为电场强度)。用 实验方法分析了常见的若干参量后指出:在材料特性与器件特性混淆的情况下,参量不具有唯一性。因此,不同作者报导的材料参量可比性较差,这就有必要对此种材料建立一个统一的描述方法。本文提出的以 ρ —T—E三维空间的曲线族可描述PTC半导瓷本征的宏观电一热性质,且具有唯一性。并给出了表征材料本征特性的若干参量。

一、引言

用作发热体的BaTiO。系PTC铁电半导瓷应用愈来愈广泛。对它的宏观电一热性质的研究也逐渐展开。目前,对材料性质的研究仅是从个别角度出发进行的。如何以合理的参数描述电一热材料尚未系统化,因而常出现器件特性与材料特性混淆的情况。这样,材料的可比性就差了。本文目的就是通过对PTC半导瓷材料电一热性质的测量所得到的结果,讨论解决这个问题的方法。

二、问题和验证实验

首先我们用实验的方法,证明存在的某些参变量不能作为材料性质的描述。同时还指出:压阻性质尽管在应用材料上有很重要的意义,但在许多材料研究的报告中常被忽略,因此也将在实验上加以说明。

1. 关于耐电强度的实验

耐电强度,就是被施加电压的试样进入PTC区以后,流经试样的电流最小时的电场强度。细言之,在特定装置的试样上施加一直流电压,电压由低到高缓慢地进行。由于流经试样的电流的热效应,试样发热,很快进入PTC区。这时电阻剧增、电流很快减小,达到一定电压后,电流变化甚微。继续增加电压,电流基本上保持不变,达到最小之后,随电压的增

^{* 1984}年3月6日收到。

加电流开始自行增加,此即进入NTC区。在此过程中电流最小时对应的电场E=V/d,即 耐 电强度。式中V(伏特)为施加到试样上的电压; d(毫米)为试样厚度。

根据上述做法对同一试样做了两次试验。一次是把样品置入陶瓷支持器内,然后悬在空 气中试验,得到耐电强度为95V/mm,另一次是把陶瓷支持器用金属块夹住,测得耐电强度 为100V/mm。前者散热条件较后者差,故试样在同样电压下前者温度高而后者温度低。这种 工作点温度前移的结果使耐电强度提高了。严格地说工作点的移动只有在考虑到电场强度对 ρ-T曲线的影响时才能这么说。(这点在后面"四"中将详细述之)换言之,我 们 可以得 到这样的结论,即耐电强度同试样的环境有关,是试样 尺寸 和 热 传导条件的函数。在研究 PTC材料时不宜用作材料性能指标。而只能是在特定条件下的器件性能指标。

关于试样的I--V特性(I--流经试样的电流,V--施加在试样上的电压)

一种情况是将试样 装入 陶 瓷支持器中, 然后悬在空中 进行直流电压下的I-V曲线测量。测量结果见图1中曲 线 a。第二种情况是将装有试样的陶瓷支持器用金 属块 夹住, 这会使样品的热量很快散发到空气中去。在这种 状态下测量I-V曲线的结果见图 1中曲线b。由图 1可 以看出I-V曲线的不同是由于试样的环境不同引起的。 与耐电强度 E 的情况类似,同样也不能 描述材料的性 能,只能是特定条件下器件的特性。同时还应注意到, I、V 都不是强度量, 强度量应为电流 密度和电压梯 度

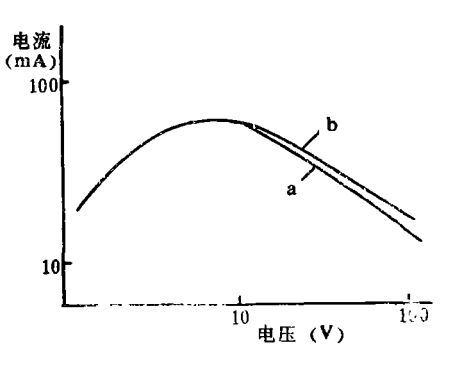


图1 不同条件下的电压—电流特性曲线

(场强)。所以这也是用!—V曲线不能衡量材料性质的理由。

3. 关于PTC半导瓷的压阻性质

人所共知,PTC半导瓷的电压电阻性质虽早已有讨研究,即PTC半导瓷试 样 的p-T曲

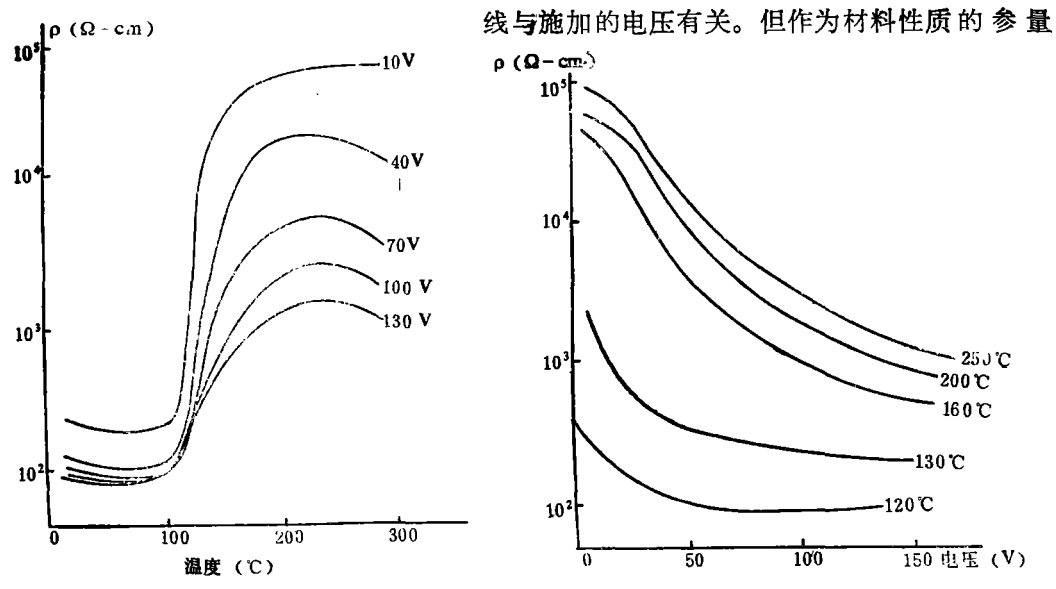


图2 不同电压下的p-T曲线

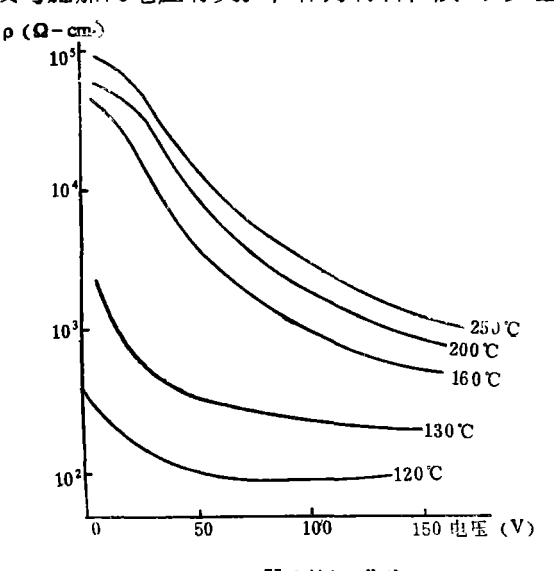


图3 p-V的等温 曲线

却没有给出定义。在若干定义的参量中仅耐电强度 E这一参量与它有关。其余参数都定义在零功率条件下测得的 ρ —T曲线上。图 2是用试样 \mathbb{N} 2 在不同电压下得到的几条 ρ —T曲线。图 3 是 ρ —V的等温曲线。试验 方 法 下面 将介绍。

从图 2 和图 3 可以看到该试样 ρ —T曲线的电压敏感性是很高的,尤其在PTC区之后更为明显。显然,在设计器件时按照零功率下所测得的 ρ —T曲线是不恰当的。图 2、图 3 的曲线表明在 ρ —T曲线的PTC区之前(较低温度下)在高电压下 ρ 随电压变化不大,对实用而言有足够的耐压能力。但在PTC区之后变化很大,在实际应用上不能忽视。因此评价PTC材料的耐压特性是很重要的。同时对材料提出了表征压阻性能参数的要求。将在以后加以讨论。

三、用P一T-E三维曲面表征PTC材料的电一热性质

为了进行PTC半导瓷的研究和设计器件的需要,必须制订出能反 映 材 料特 性的参量。它不象器件性质那样,而是对于一定的材料应有其唯一性。

对于PTC材料的电一热性能已有零功率条件下的 ρ —T曲线来表示,并在此曲线上定义了若干参量。但是这条曲线在实用上是不能充分满足要求的。尤其用PTC材料作发热体时更是如此。因如前所述在高电压下其特性已不再能用零功率条件下的 ρ —T曲线了。我们建议在略去热膨胀、压电性等其他次级效应的条件下,采用 ρ —T—E三个参变量来描述PTC材料的电一热性质。因为这三个参变量在电一热问题中是主要的。因而可以唯一地确定材料的电一热性质。这种描述当然也包括降温过程中 ρ —T曲线所出现的滞后现象。

众所周知,在低电压下可用电桥法或电位差计等方法测量 ρ ——T曲线。其结果 被 近似地看作零功率测量。严格说来这些都不是理想的方法。因为这些方法一般不是在恒电压下测量的,其结果会有些差别。同时在高电压下由于试样会产生自热(室温电阻低的 样品2~3V即能发热),使高电压下无法实现温度的准确测量和控制。为此我们使用了脉冲法进行测量。其要点如下:由内阻较小的脉冲电压源给出电压脉冲。脉冲前 沿约500微秒。由于脉 冲前沿时间(τ)很短,故加到试样上的能量W很小。(W= $\int_0^t i^2 R dt = cm \triangle T$,式中i-流经试样 的电流,R——试样电阻,t——时间,t——比热,t——质量。)实际上可认为t0,试样 未 因测量而升温。至于电压峰值之后脉冲后沿时间稍长一点也无关紧要。因为峰值电压和电流是测量电阻时所需要的数据t8。从t9。从t1。以t9。从t1。以t9。从

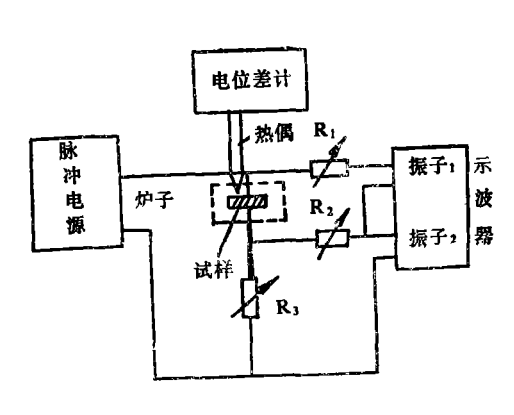


图4 测量p-T-E曲面的原理图

续时间试样虽稍有升温作用,但在下一次测量 时早**已恢**复热平衡。

图 4 为测 量 ρ —T—E 曲面的原理图。用此装置进行测量的方法简介如下:

测量 ρ —T 曲线时把样品置于具有足够均温区的小功率电炉中。炉温由 PID 调节装置自动控制,控温精度可达 $\pm 0.5 \, \mathbb{C}$ 。用 康铜—铜热偶测量温度。脉冲电源给试样以脉冲电压。

(其幅值是可调的) 这时流经试样的脉冲电流 和试样上的电压一起由光线示波器照相记录。 根据各回路中可调电阻 R_1 、 R_2 、 R_3 的数值,

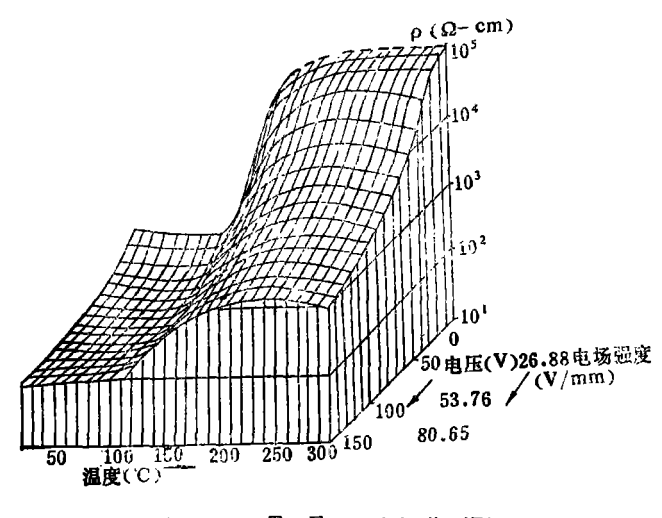


图5 ρ-T-E三维空间曲面图

示波器振子线圈的常数和 试 样 尺 寸等,即可计算得到 PTC 材 料 的电阻率。同时还给出作用在试 样 上 的 电压。

本文用上述裝置测量了 Nb 掺杂的BaTiO。半导瓷试样。试样直径为12毫米、厚度为 1.8毫米,其表面镀锌银电极。测量时将试样保持在一定温度,然后脉冲电压由小到大以测得 ρ —V 的等温曲线。这样多次地在不同温度下测得的 ρ —V 曲线族,构成了用 ρ —T —V 三维直角坐标系表示的空间曲面。其结果示于图 5 。鉴于 V 对被测试样而言是一个扩展量,不适

用于表示材料的性能。而以用"强度量"较合适。故用电场强度来取代V,E=V/d。所以最终测得的空间曲面是 ρ —T—E空间表示的曲面。它表示了PTC半导瓷材料的静态性质。

四、利用P-T-E曲面分析器件状态

我们可利用此曲面分析器件的热状态。

比如,在这个曲面上,前述的耐电强度的测量过程,由于是由小到大的连续施加场强,所以状态的轨迹不是沿恒定场强的 ρ ——T曲线,而是一条与散热条件有关的不等场强的曲线。器件的I—V曲线有此类似情况。在实际使用的PTC器件中所发生的过程往往是等场强的。例如作为发热体,总是将220V电源直接加到器件上,器件由冷态直到工作点的热态。这种情况则可以用对应的等场强(例如73V/mm) ρ ——T曲线描述。我们知道,PTC发 热体的电一热功率 ρ 可表示为:

$$\rho = V^{2}/R = H(T - T_{0})$$
 (1)

其中H—耗散系数,T—发热体温度,T。—环境温度。R与 ρ 的关系为

$$R = \rho \cdot \frac{d}{s} \tag{2}$$

其中s-发热体的截面积, d-发热体厚度。由(1)(2)式, 得

$$\rho = \frac{E^2 dS}{H} \cdot \frac{1}{T - T_0} \tag{3}$$

当电场强度一定时,(如:E=73V/mm。)从该材料的 ρ —T—E图上得到等场强 ρ —T曲线,其示意图见图 6。(3)式中E、S、d皆是常量,令 $C=E^2Sd$,则由(3)式得

$$\rho = \frac{C}{H} \cdot \frac{1}{T - T_0} \tag{4}$$

从(4)式可以看出,对不同耗散系数H,得到一族曲线。它们同 ρ —T曲线的交点,见图 6中1、2、3……,就是相应的工作点。当温度较高、工作 点 超过 T_m (最大电 阻率 ρ_m 对应 的温度)时,器件进入NTC状态,就有被热破坏的危险。

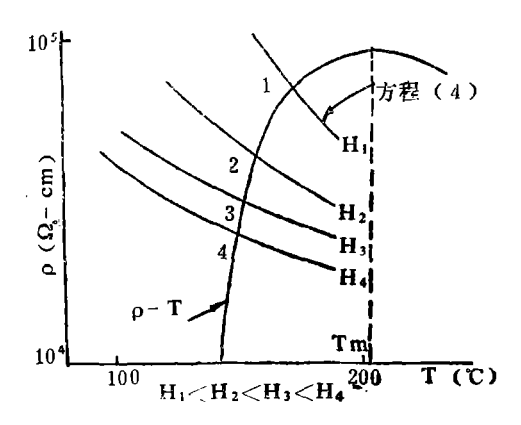


图6 等场强P—T曲线的示意图

综上所述,用 ρ —T—E曲面可用于分析PTC器件的工作状态。但在 实 际应 用时应分别用不同电压下 ρ —T曲线族和不同温度下的 ρ —E曲线族更方便些。

五、衡量PTC半导瓷材料性能的参数

本文建议用下面定义的若干参量表征PTC材料的性质。

1. 零电场条件下的参量

零电场下的电阻率是指电场强度外推到零时的电阻率。其余 量 均 在 ρ —T曲 线 上定义。

室温电阻率: 在25℃时试样的电阻率。单位: 欧姆一厘米。

低温下使用的材料可另外定义。

最小电阻率 ρ_{\min} : 在 ρ —T曲线上最小的电阻率。(它不一定是个极值)单位,欧姆— 厘米。

最大电阻率 ρ_{max} : ρ —T曲线上最大的电阻率。单位: 欧姆一厘米。

升阻比K. 最大电阻率与最小电阻率的比值。

最大微分温度系数 α_m : 即 $\alpha_m = \frac{100}{\rho} \cdot \frac{d\rho}{dT}$, 或 $\alpha_m = 100 \frac{dI_n \rho}{dT}$, 指PTC区微分 温度 系数的极大值,它位于转折点处。单位: %/ \mathbb{C} 。

2. 100V/mm电场强度作用下PTC材料的参量

这些参量定义在电场强度为100V/mm的恒场强下 ρ —T曲线上。所以"1"中参量可以移到这里使用。可将各参量符号的右上角加上100字样以示区别。如 ρ_{nex}^{100} 。

3. 从实用角度来看,我们定义这样一个量表示压阻性质

$$\beta = \frac{\rho_{max}^{100} - \rho_{max}^{\bullet}}{E \rho_{max}^{\bullet}} \times 100\%$$

单位: %mm/V, 其中E=V/mm, ρ_{max}^* —是 ρ^{100} — T曲线上 ρ_m^* 。 所对应的温度 T_m^{100} 下,零电场 ρ^* 一T曲线上的对应 ρ^* 值。最后写成:

$$\beta = \frac{\rho_{\text{max}}^{100} - \rho_{\text{max}}^{\bullet}}{\rho_{\text{max}}^{\bullet}} \%$$

我们称β为平均压阻系数。

六、结 束 语

此项工作才刚刚开始,有许多问题还特深入研究解决。如试样电极的涂敷方法、试样的 几何尺寸对测量参量的影响、测量仪器的定型与数据处理的自动化等等。希望能有更多的同 事从事此项工作。

工作中, 孙菊妹、李慧芳两位同志分别参加了试样制备和测试工作, 在此表示感谢。

欢迎订阅《自动化仪表》

《自动化仪表》是经中国科学技术协会批准,由中国仪器仪表学会过程检测控制仪表学会和 机 械工业 部工业自动化仪表科技情报网联合出版,向国内外公开发行的自动化仪表行业的技术刊物。主要刊 登 内容 有述评(自动化仪表的发展趋势、问题探讨、有益建议、考察报告等); 学术论文; 研 究 成果; 新产品介绍及应用; 技术革新; 技术讲座; 自控系统设计及应用; 仪表使用维修经验交流; 学会、情报网 活 动和产品研制简讯以及仪表工问题解答等。

本刊读者对象主要是从事自动化仪表研究、设计、制造、使用和教学的工程技术人员、管理人员、技术工人和大专院校师生、欢迎广大读者订阅、投稿、指正!

本刊还为仪器仪表制造厂家及元器件、材料、零部件生产单位刊登产品广告。

本刊为月刊,每期48页,定价0.40元,全年4.80元,可分季订阅。本刊代号4—304,**欲订阅者(单位**或个人均可)请至当地邮局办理手续;本刊国外代号M721。由中国国际贸易总公司负责国外发行。

本刊编辑部设在机械工业部上海工业自动化仪表研究所,

《自动化仪表》编辑部